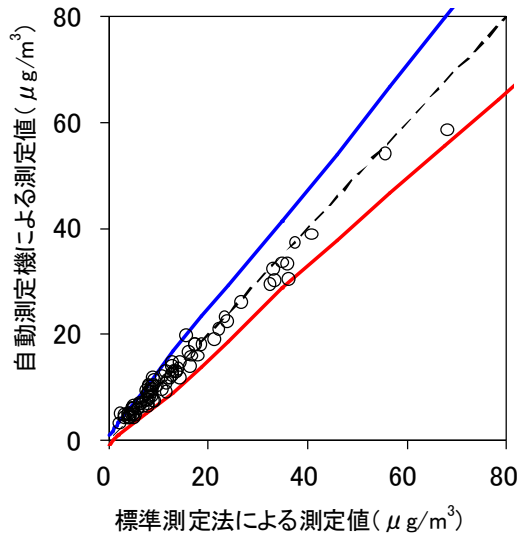


①' MP101M (Environnement S.A) 日平均値直接測定

A: グループごとに P_R を最大化する方法

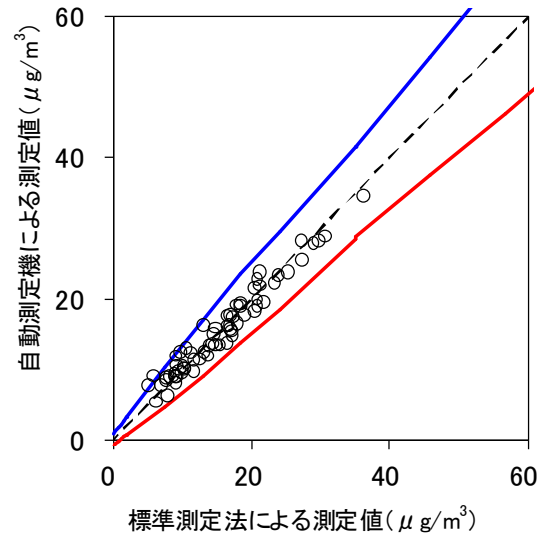
グループ 1 による評価

機種名	Model MP101M(BAM)・冬季
有効測定日数	97
自動測定機の有効データ数	85
ハズレ値の個数	2
r	12
K	1.784
傾き	0.89



Model MP101M(BAM)の冬季における管理限界線との関係

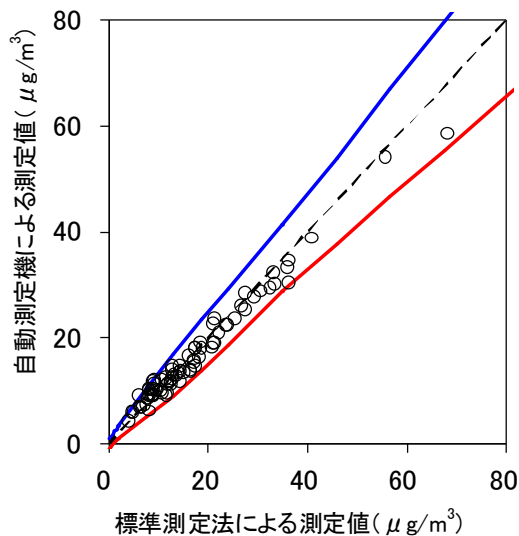
機種名	Model MP101M(BAM)・夏季
有効測定日数	72
自動測定機の有効データ数	65
ハズレ値の個数	2
r	9
K	1.838
傾き	0.91



Model MP101M(BAM)の夏季における管理限界線との関係

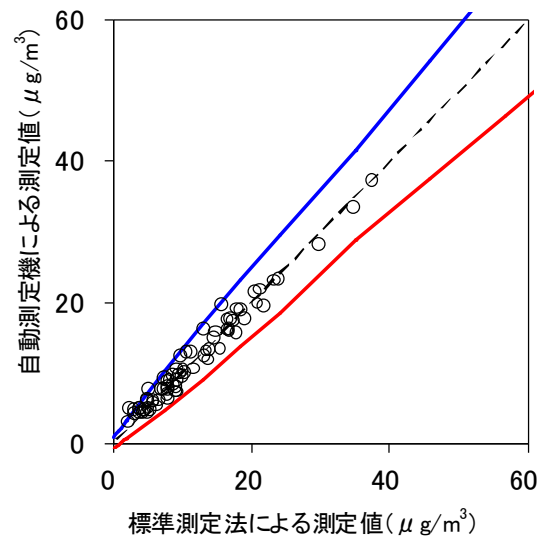
グループ 2 による評価

機種名	Model MP101M(BAM)・都市部
有効測定日数	86
自動測定機の有効データ数	78
ハズレ値の個数	1
r	11
K	1.798
傾き	0.88



Model MP101M(BAM)の都市部における管理限界線との関係

機種名	Model MP101M(BAM)・非都市部
有効測定日数	83
自動測定機の有効データ数	72
ハズレ値の個数	3
r	10
K	1.820
傾き	0.95



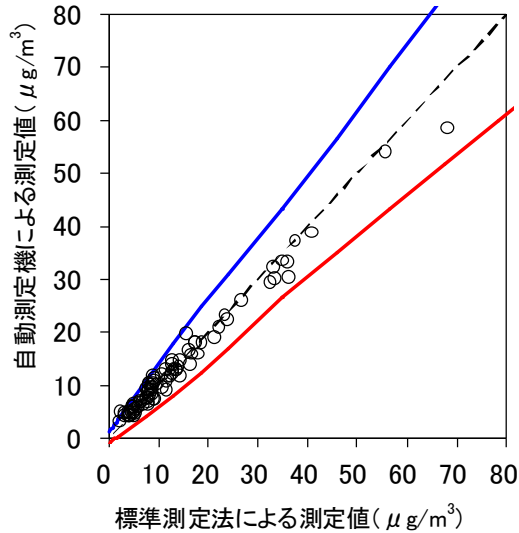
Model MP101M(BAM)の非都市部における管理限界線との関係

B : グループごとに P_R を固定する方法

(1) $\alpha = \alpha'_1$ の場合

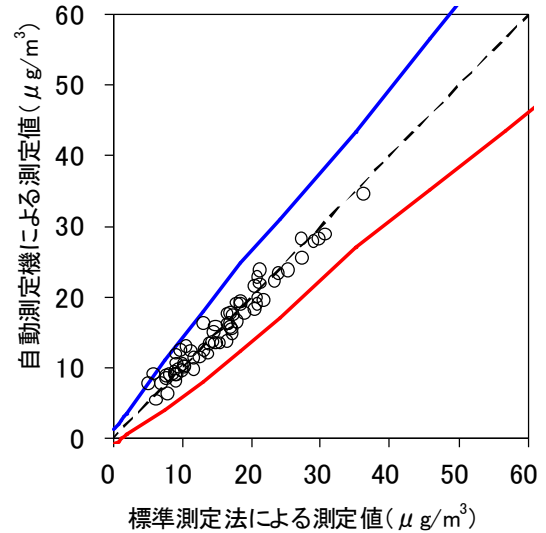
グループ 1 による評価

機種名	Model MP101M(BAM)・冬季
有効測定日数	97
自動測定機の有効データ数	86
ハズレ値の個数	1
r	5
K	2.363
傾き	0.89



Model MP101M(BAM)の冬季における管理限界線との関係

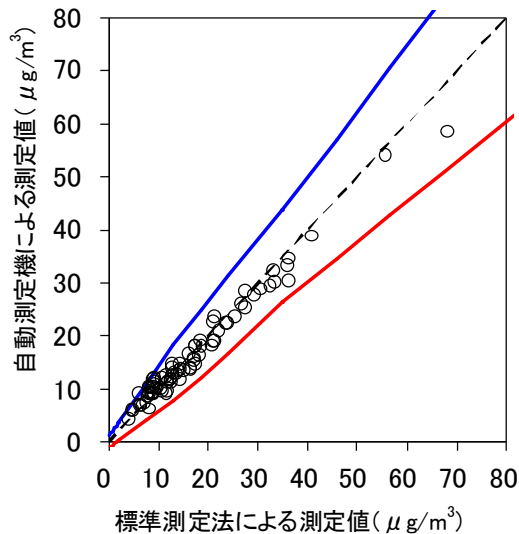
機種名	Model MP101M(BAM)・夏季
有効測定日数	72
自動測定機の有効データ数	65
ハズレ値の個数	1
r	5
K	2.320
傾き	0.91



Model MP101M(BAM)の夏季における管理限界線との関係

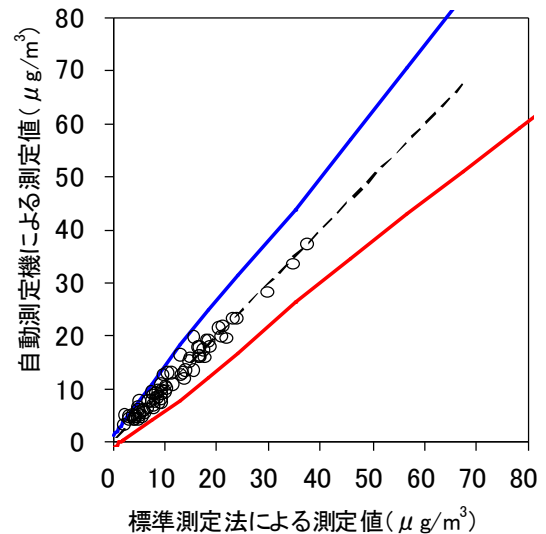
グループ 2 による評価

機種名	Model MP101M(BAM)・都市部
有効測定日数	86
自動測定機の有効データ数	79
ハズレ値の個数	1
r	4
K	2.456
傾き	0.88



Model MP101M(BAM)の都市部における管理限界線との関係

機種名	Model MP101M(BAM)・非都市部
有効測定日数	83
自動測定機の有効データ数	72
ハズレ値の個数	1
r	4
K	2.449
傾き	0.95

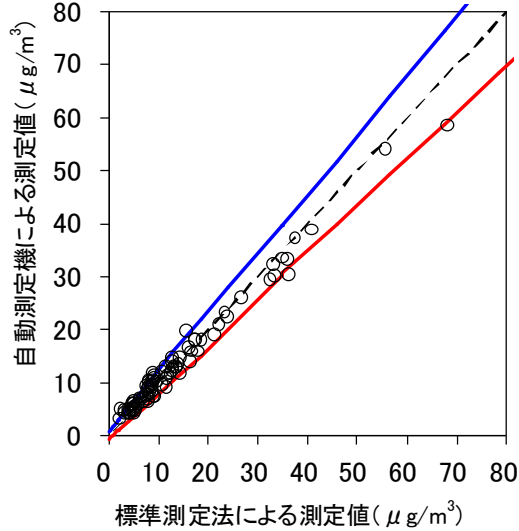


Model MP101M(BAM)の非都市部における管理限界線との関係

(2) $\alpha = \alpha'_2$ の場合

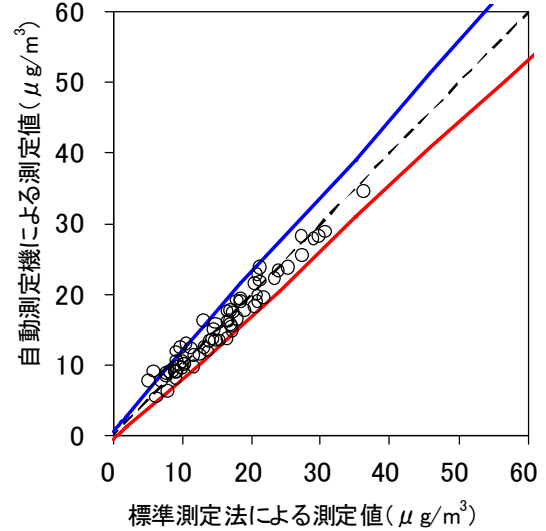
グループ1による評価

機種名	Model MP101M(BAM)・冬季
有効測定日数	97
自動測定機の有効データ数	86
ハズレ値の個数	15
r	26
K	1.298
傾き	0.89



Model MP101M(BAM)の冬季における管理限界線との関係

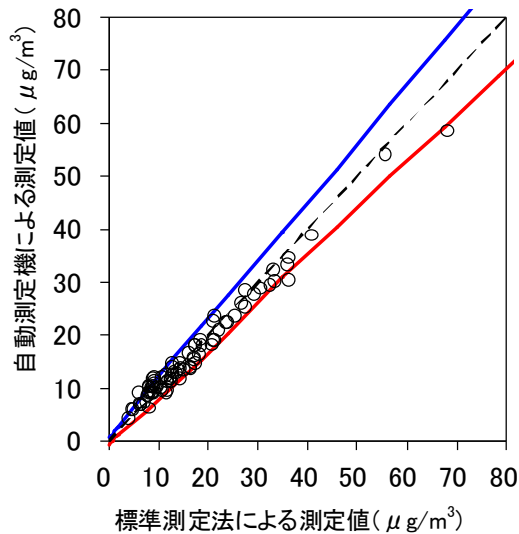
機種名	Model MP101M(BAM)・夏季
有効測定日数	72
自動測定機の有効データ数	65
ハズレ値の個数	6
r	25
K	1.148
傾き	0.91



Model MP101M(BAM)の夏季における管理限界線との関係

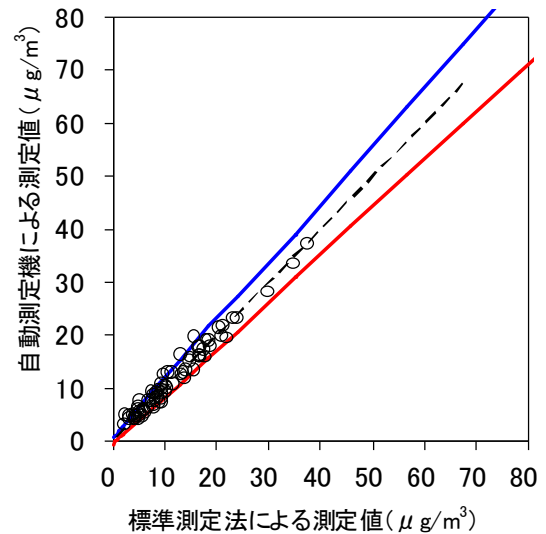
グループ2による評価

機種名	Model MP101M(BAM)・都市部
有効測定日数	86
自動測定機の有効データ数	79
ハズレ値の個数	10
r	27
K	1.200
傾き	0.88



Model MP101M(BAM)の都市部における管理限界線との関係

機種名	Model MP101M(BAM)・非都市部
有効測定日数	83
自動測定機の有効データ数	72
ハズレ値の個数	13
r	28
K	1.121
傾き	0.95

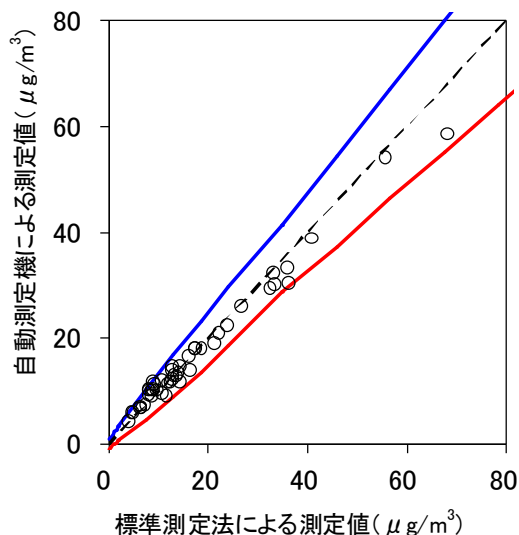


Model MP101M(BAM)の非都市部における管理限界線との関係

C: フィールドごとに P_R を最大化する方法

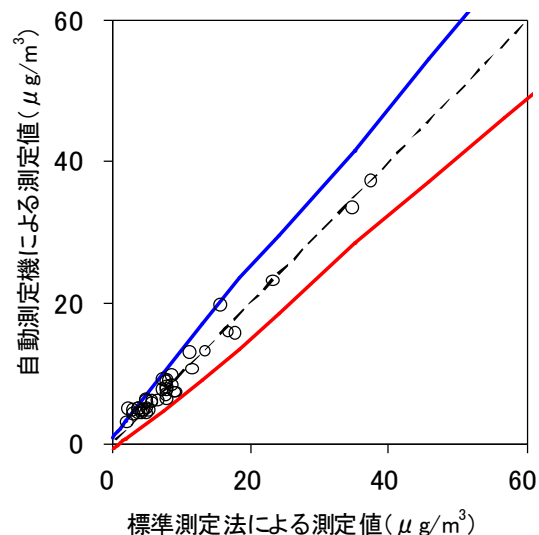
フィールドごとによる評価

機種名	Model MP101M(BAM)・都市部(冬)
有効測定日数	49
自動測定機の有効データ数	46
ハズレ値の個数	0
r	7
K	1.837
傾き	0.87



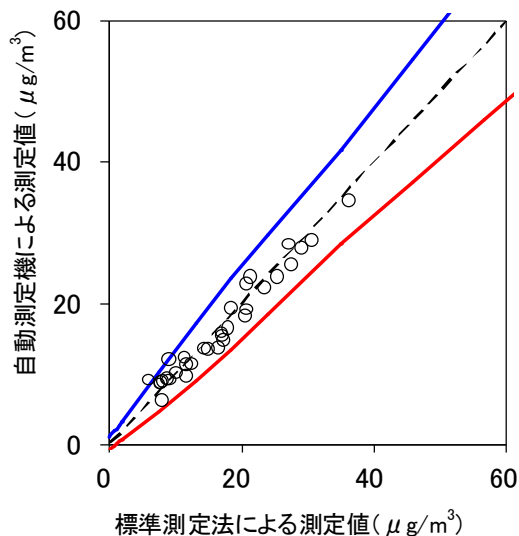
Model MP101M(BAM)の都市部(冬)における管理限界線との関係

機種名	Model MP101M(BAM)・非都市部(冬)
有効測定日数	48
自動測定機の有効データ数	39
ハズレ値の個数	2
r	6
K	1.861
傾き	0.95



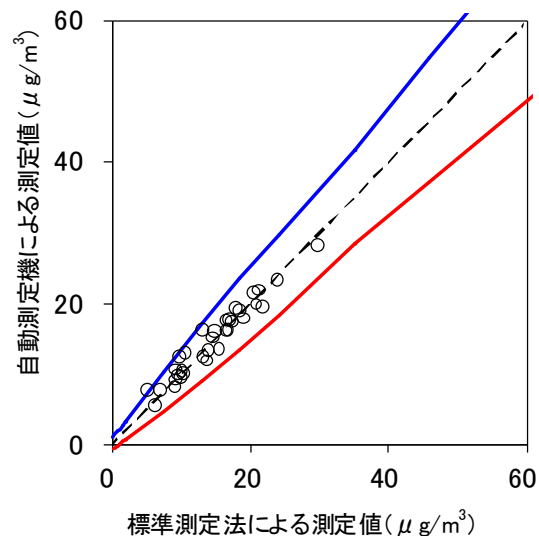
Model MP101M(BAM)の非都市部(冬)における管理限界線との関係

機種名	Model MP101M(BAM)・都市部(夏)
有効測定日数	37
自動測定機の有効データ数	32
ハズレ値の個数	1
r	5
K	1.889
傾き	0.92



Model MP101M(BAM)の都市部(夏)における管理限界線との関係

機種名	Model MP101M(BAM)・非都市部(夏)
有効測定日数	35
自動測定機の有効データ数	33
ハズレ値の個数	1
r	5
K	1.904
傾き	0.91



Model MP101M(BAM)の非都市部(夏)における管理限界線との関係

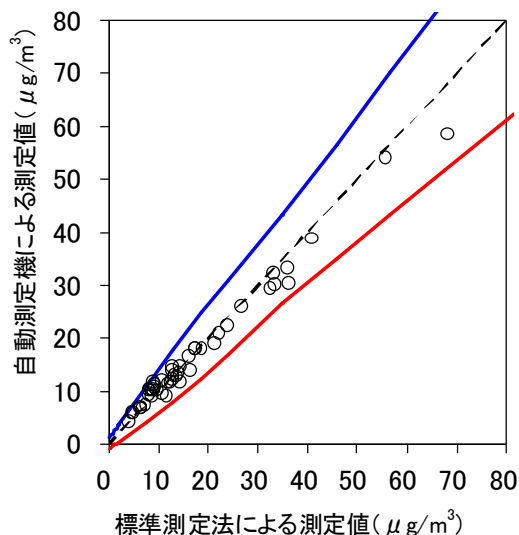
D : フィールドごとに PR を固定する方法

(1) $\alpha = \alpha'_1$ の場合

フィールドごとによる評価

機種名 Model MP101M(BAM)・都市部(冬)

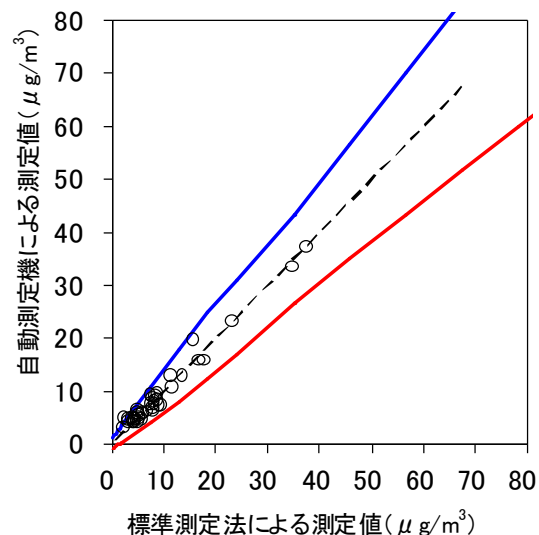
有効測定日数	49
自動測定機の有効データ数	47
ハズレ値の個数	0
r	6
K	2.363
傾き	0.87



Model MP101M(BAM)の都市部(冬)における管理限界線との関係

機種名 Model MP101M(BAM)・非都市部(冬)

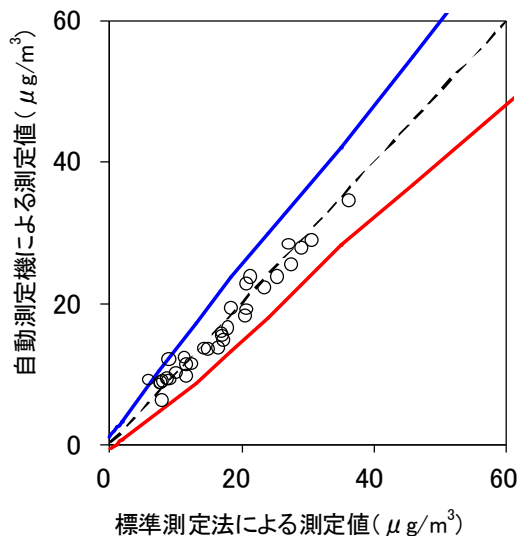
有効測定日数	48
自動測定機の有効データ数	39
ハズレ値の個数	2
r	6
K	2.363
傾き	0.96



Model MP101M(BAM)の非都市部(冬)における管理限界線との関係

機種名 Model MP101M(BAM)・都市部(夏)

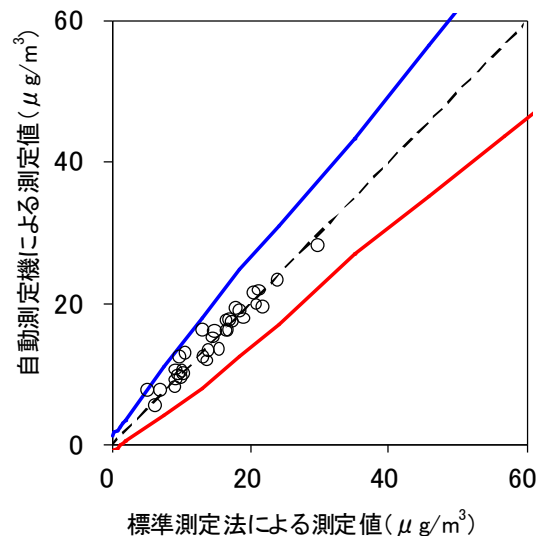
有効測定日数	37
自動測定機の有効データ数	32
ハズレ値の個数	1
r	5
K	1.974
傾き	0.92



Model MP101M(BAM)の都市部(夏)における管理限界線との関係

機種名 Model MP101M(BAM)・非都市部(夏)

有効測定日数	35
自動測定機の有効データ数	33
ハズレ値の個数	0
r	3
K	2.312
傾き	0.91

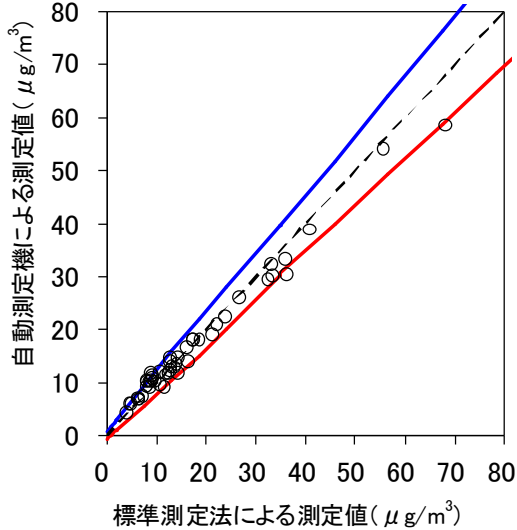


Model MP101M(BAM)の非都市部(夏)における管理限界線との関係

(2) $\alpha = \alpha'_2$ の場合

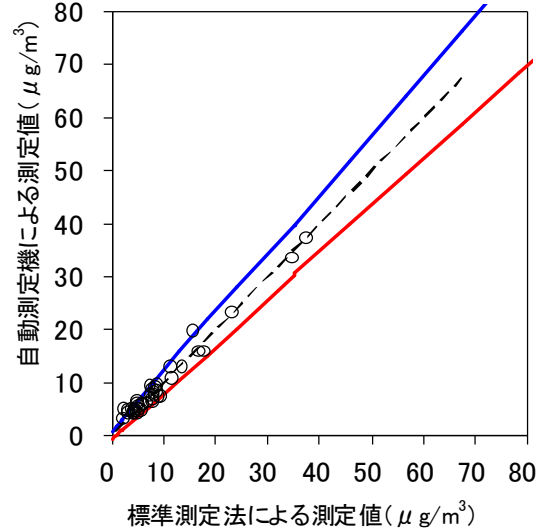
フィールドごとによる評価

機種名	Model MP101M(BAM)・都市部(冬)
有効測定日数	49
自動測定機の有効データ数	47
ハズレ値の個数	2
r	10
K	1.298
傾き	0.87



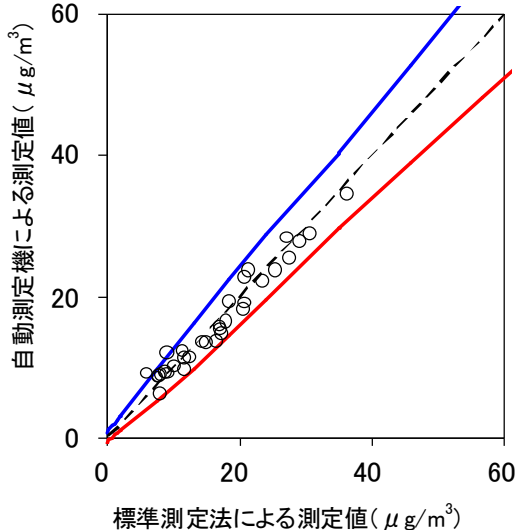
Model MP101M(BAM)の都市部(冬)における管理限界線との関係

機種名	Model MP101M(BAM)・非都市部(冬)
有効測定日数	48
自動測定機の有効データ数	39
ハズレ値の個数	5
r	11
K	1.298
傾き	0.96



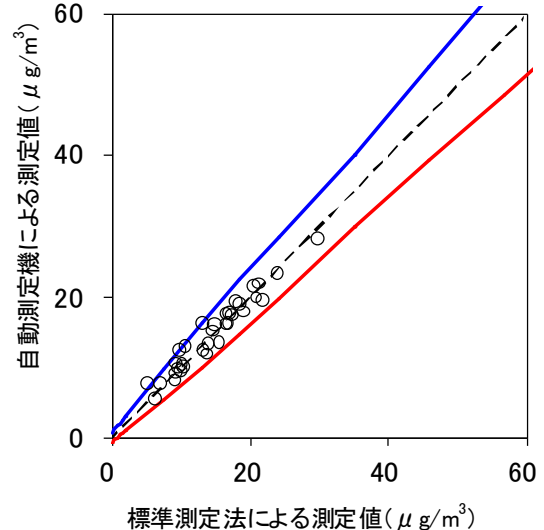
Model MP101M(BAM)の非都市部(冬)における管理限界線との関係

機種名	Model MP101M(BAM)・都市部(夏)
有効測定日数	37
自動測定機の有効データ数	32
ハズレ値の個数	2
r	9
K	1.516
傾き	0.92



Model MP101M(BAM)の都市部(夏)における管理限界線との関係

機種名	Model MP101M(BAM)・非都市部(夏)
有効測定日数	35
自動測定機の有効データ数	33
ハズレ値の個数	3
r	10
K	1.441
傾き	0.91



Model MP101M(BAM)の非都市部(夏)における管理限界線との関係